

Procjene maksimalnih godišnjih kratkotrajnih količina oborine na postaji Mali Lošinj

Geografska širina (φ): 44.53250° (338814.77E)

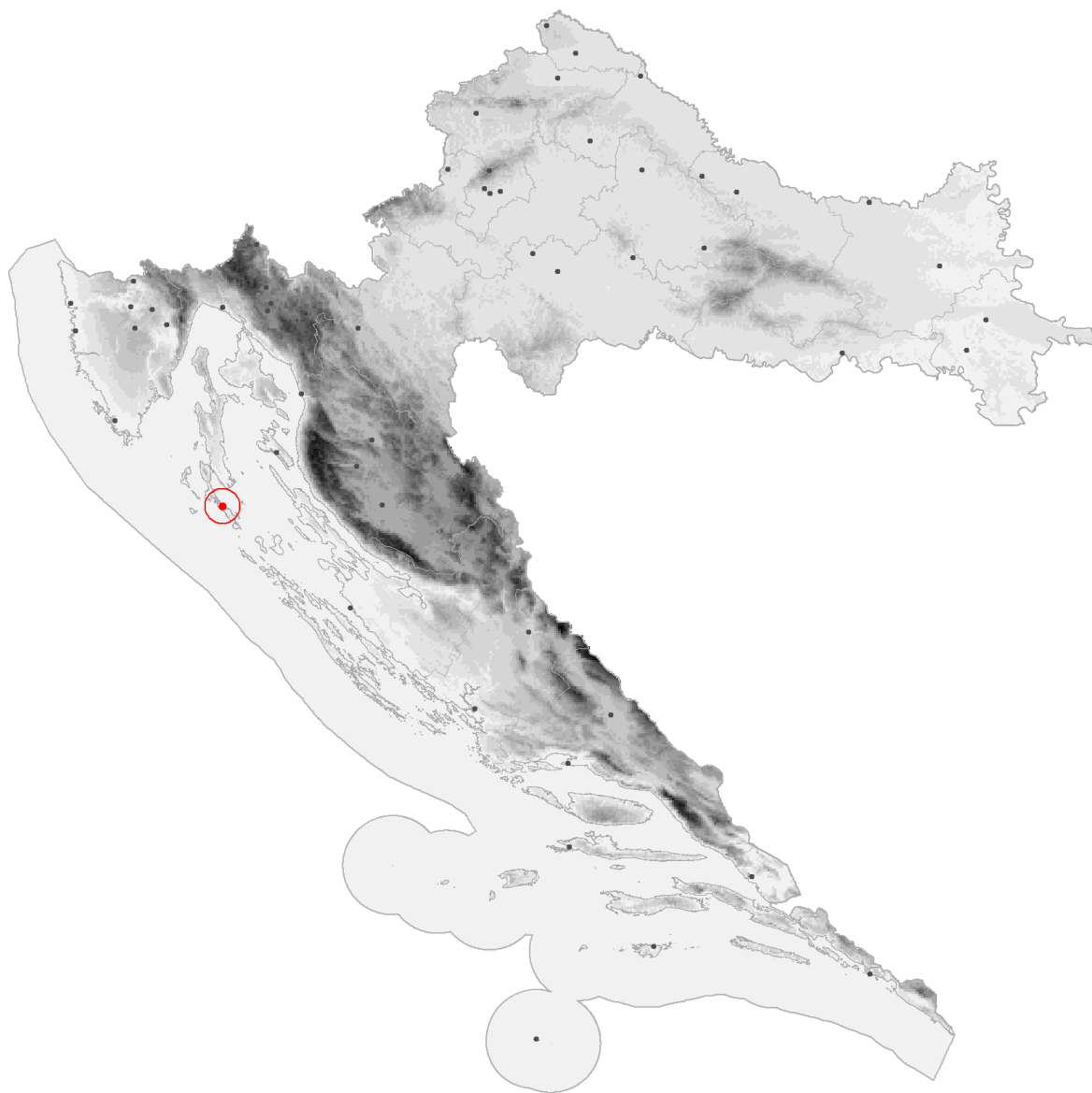
Geografska dužina (λ): 14.47194° (4934500.15N)

Nadmorska visina (h): 52 m

Razdoblje: 1962. – 2020.

Analizirani broj godina: 59 (100 %)

Nedostajuće godine: 0 (0 %)



Najbliži ombrograf: Rab, 34 km

Tablica 1.

Osnovni statistički parametri oborine za različita trajanja: Rsred – srednjak [mm], StDev – standardna devijacija [mm], CV – koeficijent varijacije oborine, Rmaks – najveća registrirana količina oborine [mm] i pripadni datum i vrijeme, Tmaks – pripadno povratno razdoblje za Rmaks [god]. **MALI LOŠINJ, razdoblje 1962. – 2020.**

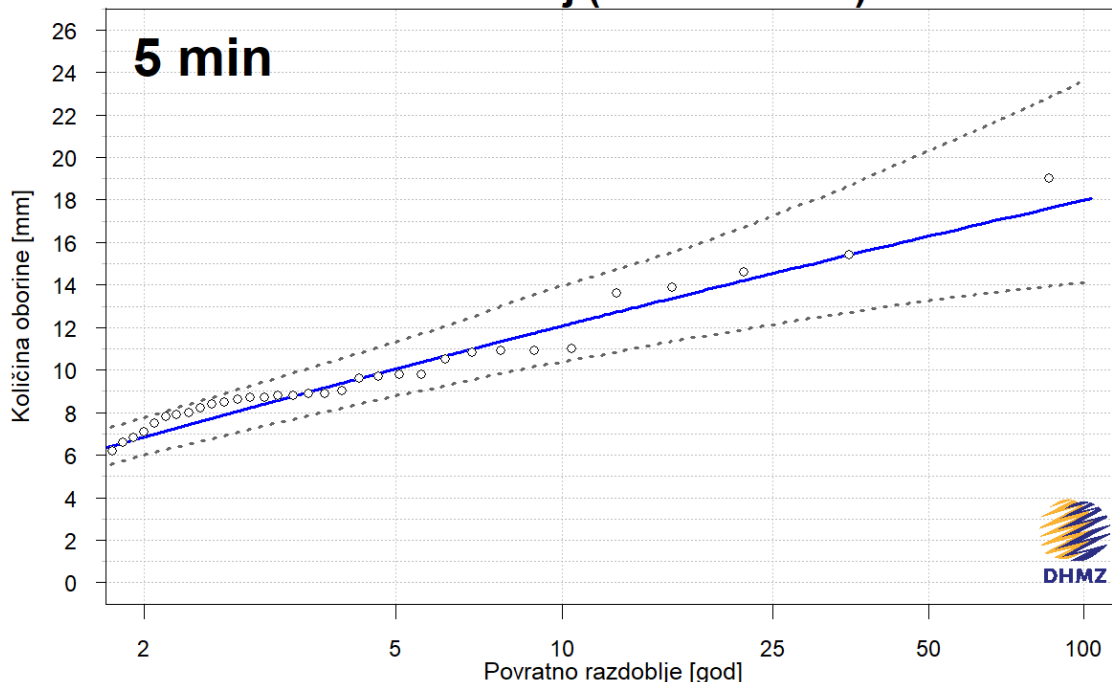
Trajanje	Rsred	StDev	CV	Rmaks	Datum/Vrijeme	Tmaks
5 min	7.3	3.5	0.48	19.0	1993-09-04 12:45:00	154
10 min	12.2	5.5	0.45	26.4	1967-11-28 07:45:00	39
20 min	18.9	8.9	0.47	46.9	1967-11-28 07:55:00	63
30 min	23.6	10.3	0.44	54.5	1995-10-30 11:40:00	62
40 min	27.2	11.9	0.44	64.7	1995-10-30 11:50:00	67
50 min	30.1	13.0	0.43	71.1	1995-10-30 11:50:00	67
60 min	32.2	14.2	0.44	78.6	1995-10-30 11:50:00	68
2 h	42.0	19.5	0.46	108.1	1995-10-30 12:35:00	67
3 h	46.4	21.4	0.46	113.7	1995-10-30 12:35:00	52
4 h	49.6	22.9	0.46	117.9	1995-10-30 12:35:00	45
6 h	54.4	24.0	0.44	128.3	1966-10-17 13:00:00	52
8 h	58.9	24.0	0.41	134.2	1966-10-17 15:00:00	68
12 h	64.3	24.0	0.37	140.7	1966-10-17 19:00:00	79
24 h	72.5	24.4	0.34	143.9	1966-10-18 06:55:00	50

Tablica 2.

Procjene maksimalnih godišnjih količina oborine RT [mm] za različita trajanja i odgovarajuće donje (IPd) i gornje granice (IPg) 95%-tnih intervala pouzdanosti za različita povratna razdoblja T (2, 5, 10, 25, 50 i 100 godina). **MALI LOŠINJ, razdoblje 1962. – 2020.**

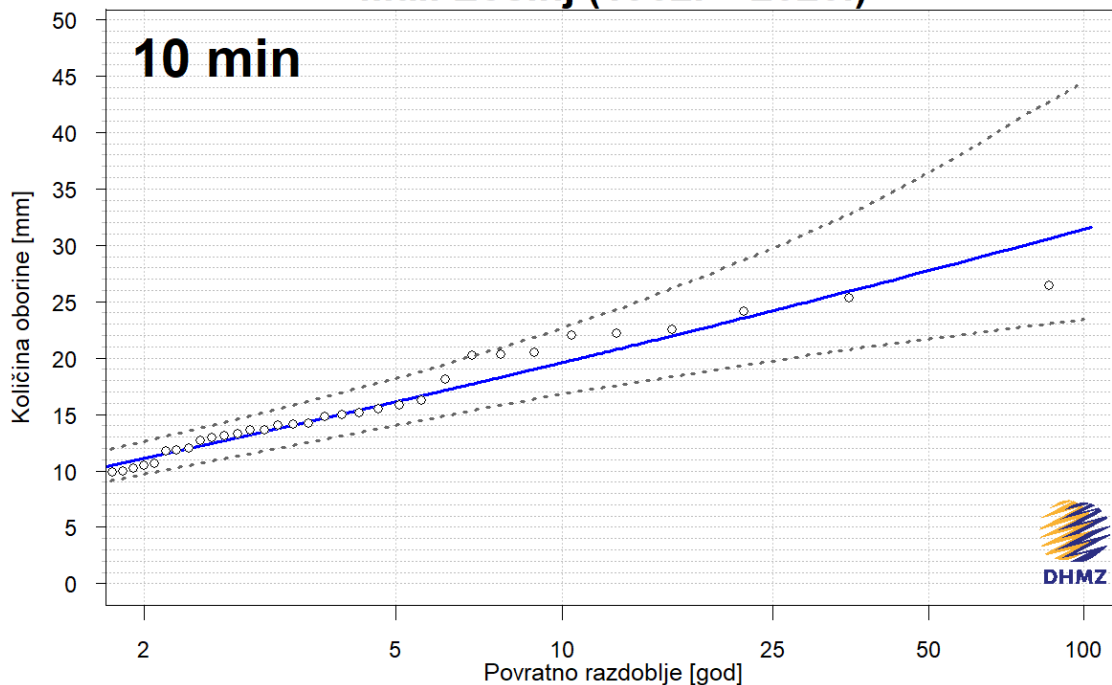
Trajanje	T2			T5			T10			T25			T50			T100		
	IPd	RT	IPg	IPd	RT	IPg	IPd	RT	IPg	IPd	RT	IPg	IPd	RT	IPg	IPd	RT	IPg
5 min	6.0	6.8	7.8	8.8	10.0	11.3	10.4	12.1	14.0	12.1	14.5	17.3	13.3	16.3	20.3	14.1	18.0	23.6
10 min	9.7	11.1	12.6	14.0	16.1	18.2	16.8	19.6	22.7	19.7	24.2	29.7	21.7	27.7	36.5	23.4	31.4	44.5
20 min	15.0	16.9	19.2	21.4	24.7	28.3	25.6	30.4	35.5	29.7	38.3	47.5	32.5	44.6	59.8	34.9	51.5	73.8
30 min	19.0	21.5	24.4	27.3	30.7	34.6	32.1	37.2	42.7	37.0	45.7	56.1	40.3	52.4	68.5	43.2	59.3	83.3
40 min	22.1	24.6	27.4	31.0	35.1	39.6	36.4	42.7	49.5	42.9	53.0	65.2	47.0	61.1	81.1	50.9	69.7	99.8
50 min	24.4	27.2	30.8	33.8	38.6	43.6	39.9	46.9	54.8	46.9	58.1	71.3	51.2	67.2	86.1	54.9	76.8	105.4
60 min	26.1	29.0	32.5	36.0	41.3	46.3	42.6	50.4	59.3	50.8	63.2	79.1	55.0	73.7	98.7	60.3	85.1	123.4
2 h	32.8	37.1	42.3	47.2	54.0	62.7	55.8	66.9	79.4	67.6	85.5	109.2	75.0	101.1	135.3	81.1	118.5	172.9
3 h	36.3	40.9	46.4	50.8	59.2	68.0	60.3	73.5	87.1	73.2	94.5	122.5	82.0	112.4	157.7	89.6	132.5	201.5
4 h	38.7	43.5	49.2	54.7	62.9	72.5	65.3	78.4	92.7	78.9	101.3	127.7	87.7	121.2	163.6	95.3	143.9	210.5
6 h	43.0	48.3	53.6	59.4	68.7	77.6	70.4	84.5	99.6	83.9	107.5	135.0	92.3	127.1	173.3	100.3	148.9	223.5
8 h	48.6	53.8	59.6	66.8	75.0	83.7	77.8	90.1	102.3	90.5	110.5	131.8	98.8	126.7	161.0	105.8	143.7	196.9
12 h	54.4	59.6	65.5	71.8	80.7	89.9	83.1	95.5	108.6	94.7	115.2	138.5	103.2	130.4	166.5	110.1	146.2	198.7
24 h	61.5	66.8	72.7	79.0	87.6	97.9	90.5	103.2	118.7	103.8	125.5	156.5	112.9	144.0	193.9	120.9	164.2	241.3

Mali Lošinj (1962. – 2020.)



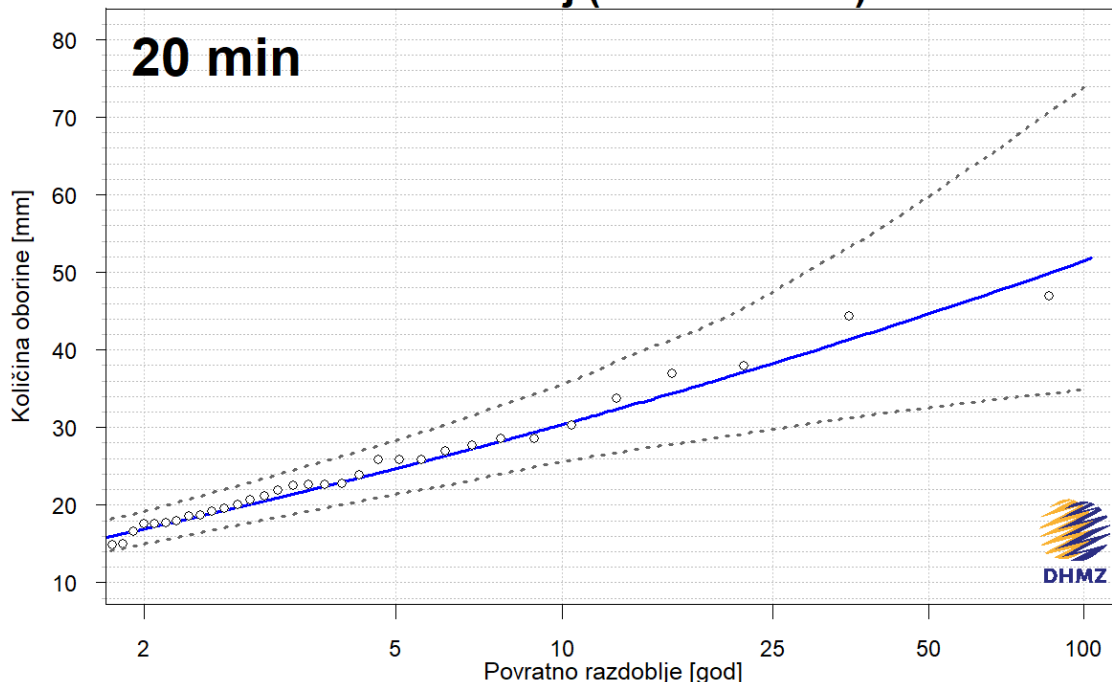
Slika 1. Procjene maksimalnih godišnjih količina oborine za različita povratna razdoblja (plava krivulja) i odgovarajući donji i gornji 95%-tni intervali pouzdanosti (crtkane krivulje) za trajanje **5 minuta**, izračunate pomoću razdiobe GEV

Mali Lošinj (1962. – 2020.)



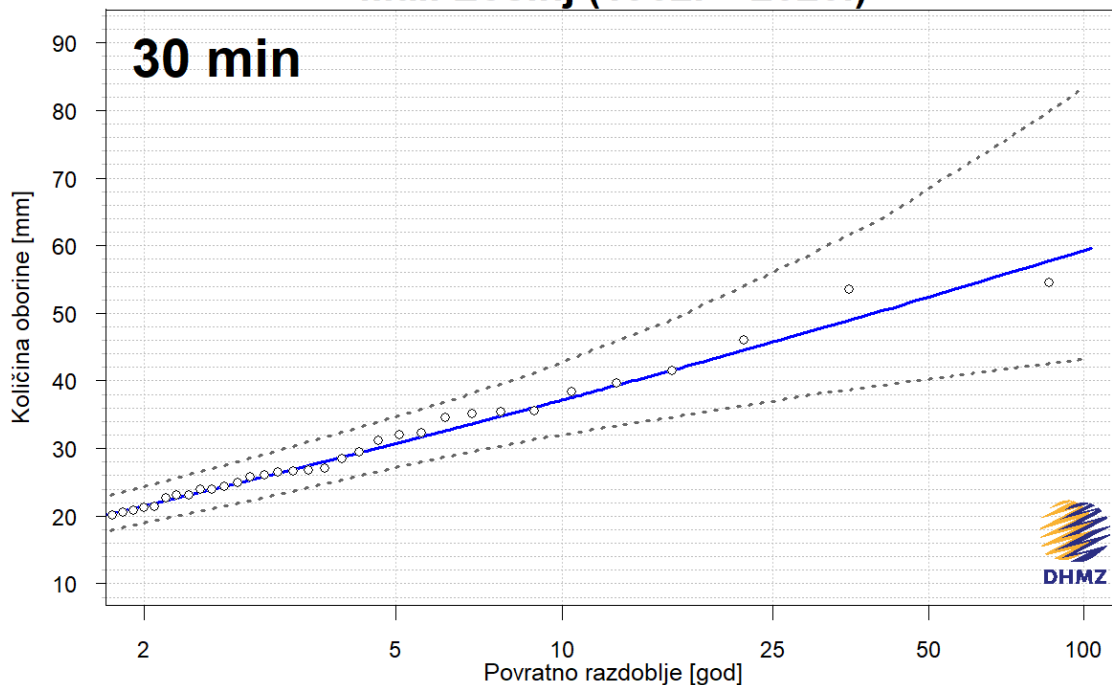
Slika 2. Procjene maksimalnih količina oborine za različita povratna razdoblja (plava krivulja) i odgovarajući donji i gornji 95%-tni intervali pouzdanosti (crtkane krivulje) za trajanje **10 minuta**, izračunate pomoću razdiobe GEV

Mali Lošinj (1962. – 2020.)



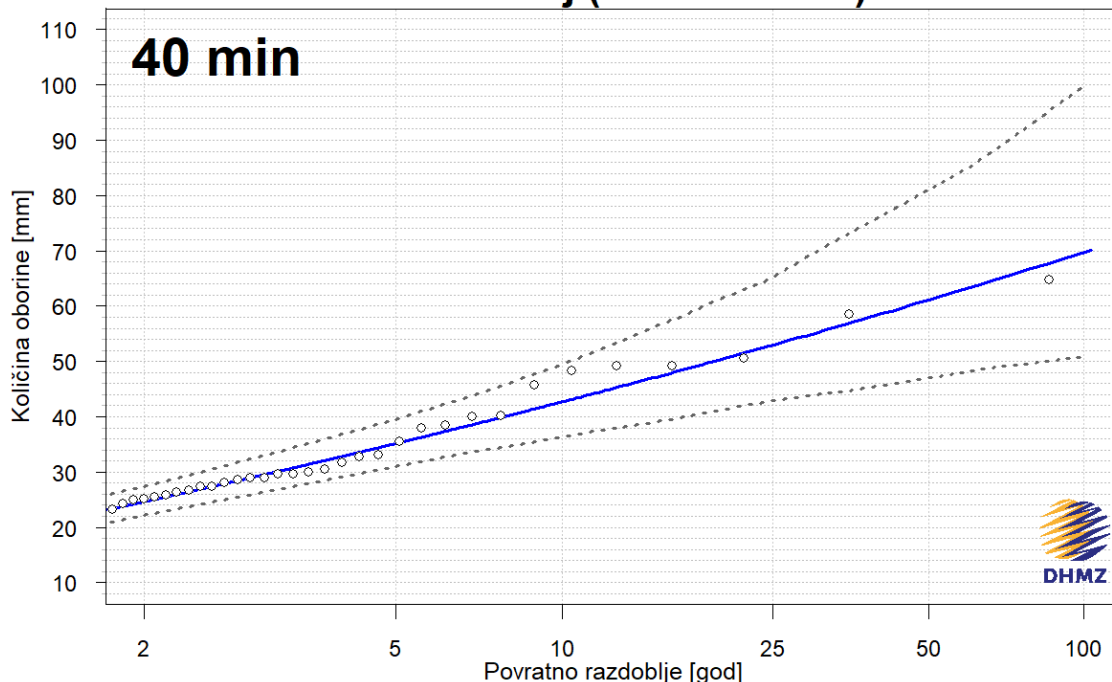
Slika 3. Procjene maksimalnih godišnjih količina oborine za različita povratna razdoblja (plava krivulja) i odgovarajući donji i gornji 95%-tni intervali pouzdanosti (crtkane krivulje) za trajanje **20 minuta**, izračunate pomoću razdiobe GEV

Mali Lošinj (1962. – 2020.)



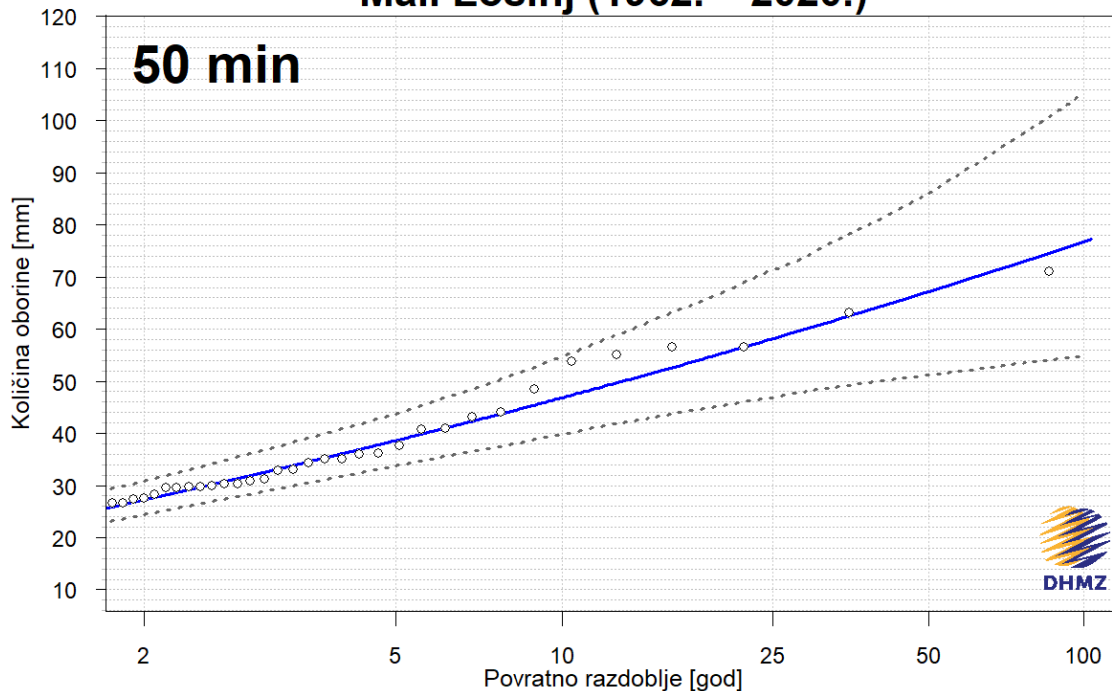
Slika 4. Procjene maksimalnih godišnjih količina oborine za različita povratna razdoblja (plava krivulja) i odgovarajući donji i gornji 95%-tni intervali pouzdanosti (crtkane krivulje) za trajanje **30 minuta**, izračunate pomoću razdiobe GEV

Mali Lošinj (1962. – 2020.)

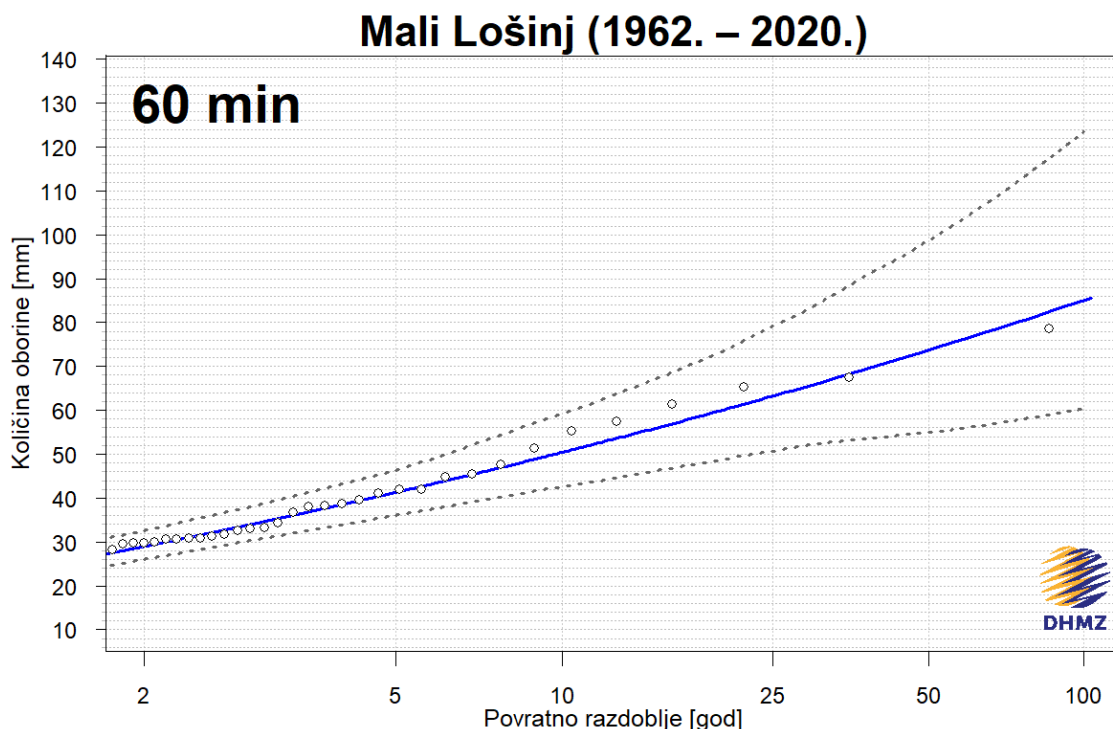


Slika 5. Procjene maksimalnih godišnjih količina oborine za različita povratna razdoblja (plava krivulja) i odgovarajući donji i gornji 95%-tni intervali pouzdanosti (crtkane krivulje) za trajanje **40 minuta**, izračunate pomoću razdiobe GEV

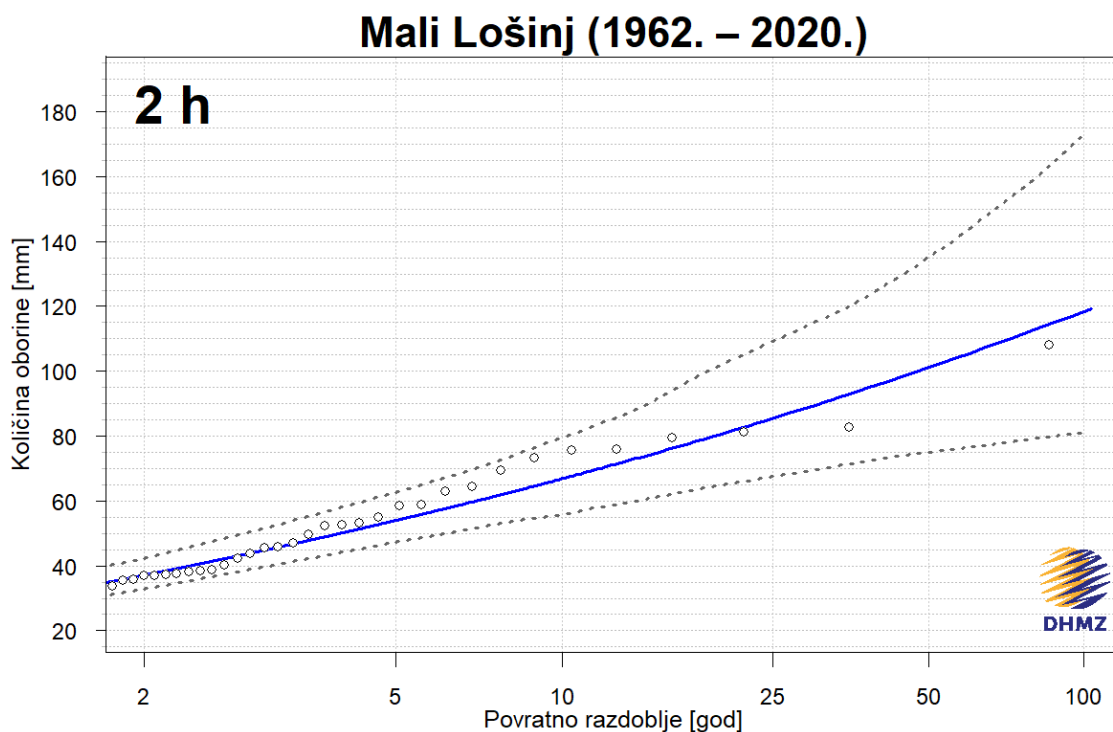
Mali Lošinj (1962. – 2020.)



Slika 6. Procjene maksimalnih godišnjih količina oborine za različita povratna razdoblja (plava krivulja) i odgovarajući donji i gornji 95%-tni intervali pouzdanosti (crtkane krivulje) za trajanje **50 minuta**, izračunate pomoću razdiobe GEV

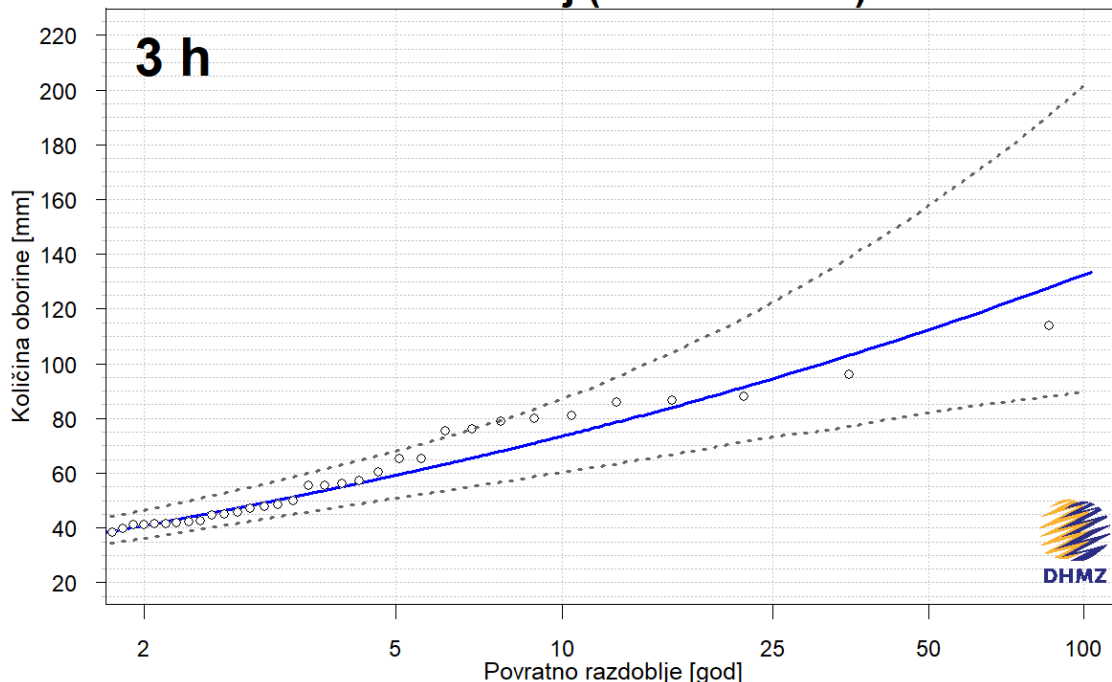


Slika 7. Procjene maksimalnih godišnjih količina oborine za različita povratna razdoblja (plava krivulja) i odgovarajući donji i gornji 95%-tni intervali pouzdanosti (crtkane krivulje) za trajanje **60 minuta**, izračunate pomoću razdiobe GEV



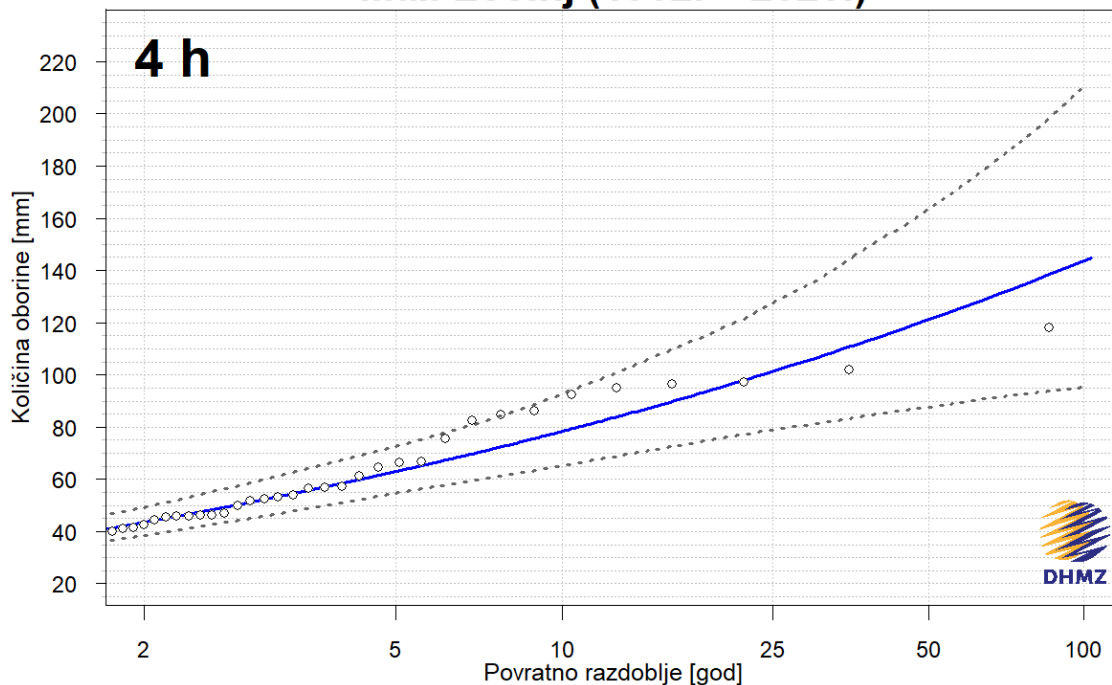
Slika 8. Procjene maksimalnih godišnjih količina oborine za različita povratna razdoblja (plava krivulja) i odgovarajući donji i gornji 95%-tni intervali pouzdanosti (crtkane krivulje) za trajanje **2 h**, izračunate pomoću razdiobe GEV

Mali Lošinj (1962. – 2020.)



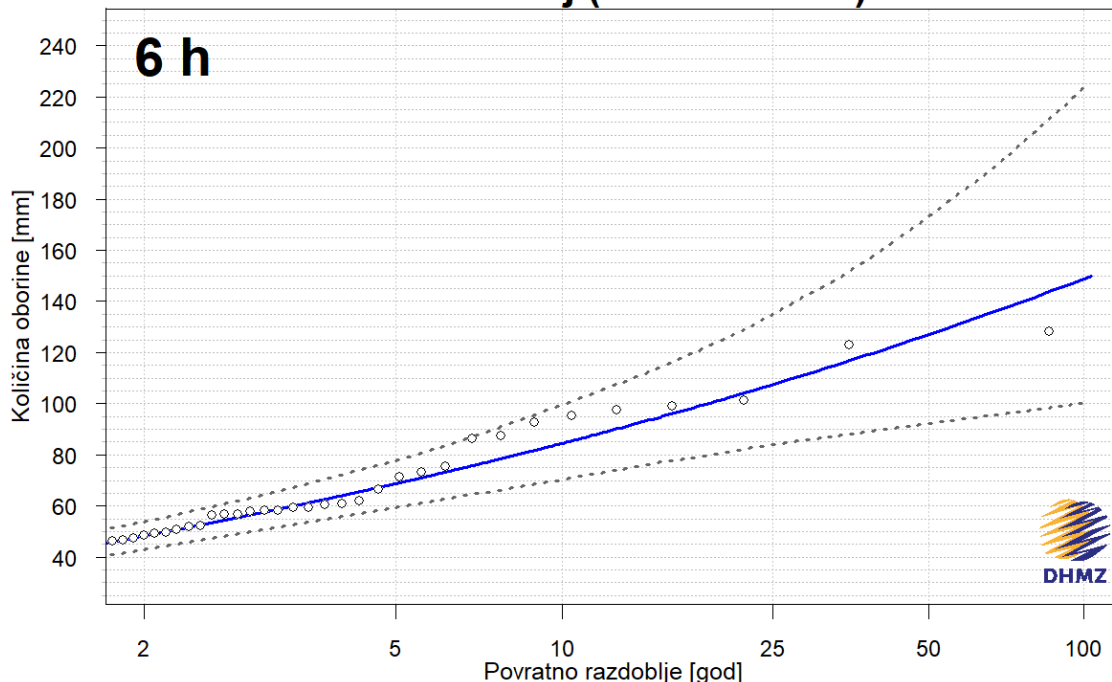
Slika 9. Procjene maksimalnih godišnjih količina oborine za različita povratna razdoblja (plava krivulja) i odgovarajući donji i gornji 95%-tni intervali pouzdanosti (crtkane krivulje) za trajanje 3 h, izračunate pomoću razdiobe GEV

Mali Lošinj (1962. – 2020.)



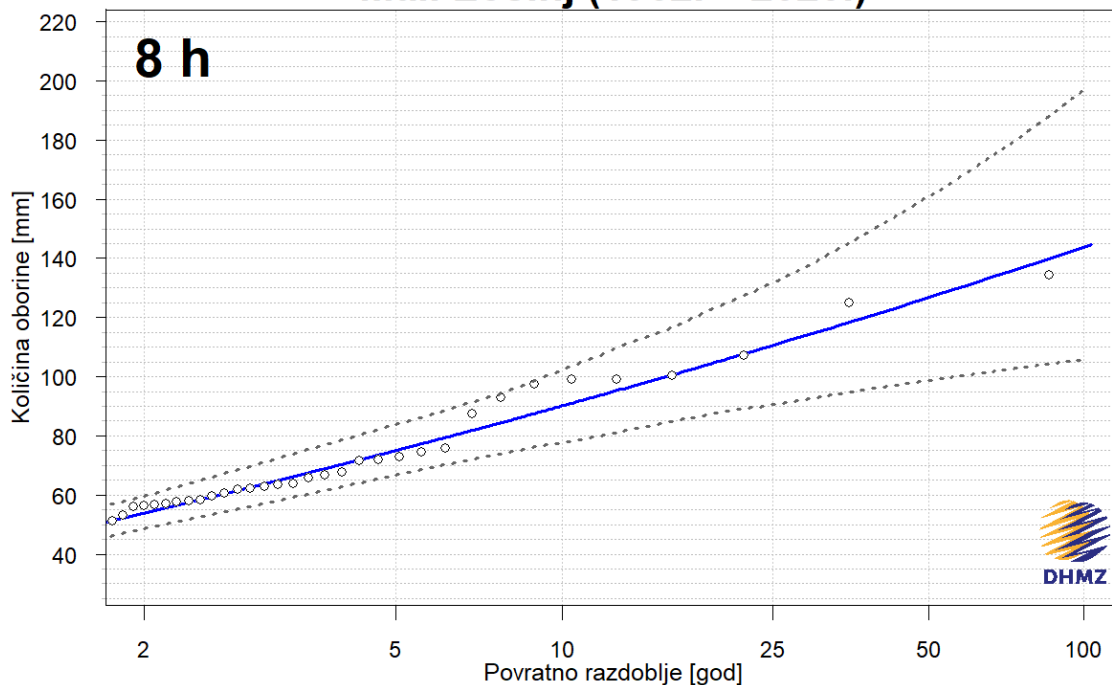
Slika 10. Procjene maksimalnih godišnjih količina oborine za različita povratna razdoblja (plava krivulja) i odgovarajući donji i gornji 95%-tni intervali pouzdanosti (crtkane krivulje) za trajanje 4 h, izračunate pomoću razdiobe GEV

Mali Lošinj (1962. – 2020.)



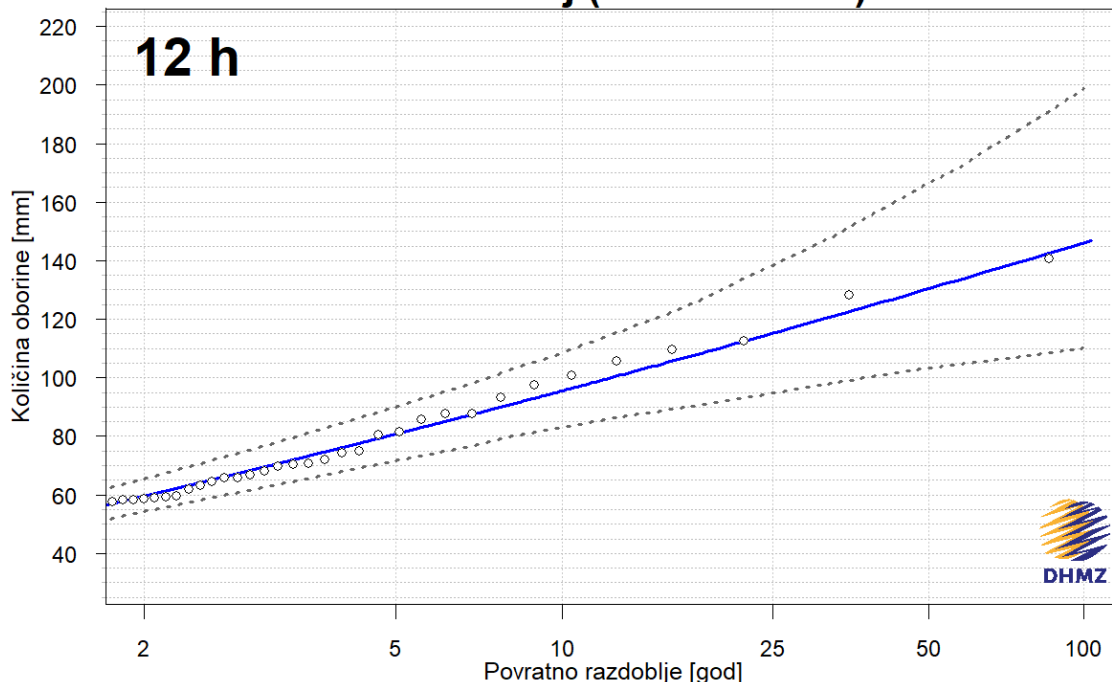
Slika 11. Procjene maksimalnih godišnjih količina oborine za različita povratna razdoblja (plava krivulja) i odgovarajući donji i gornji 95%-tni intervali pouzdanosti (crtkane krivulje) za trajanje **6 h**, izračunate pomoću razdiobe GEV

Mali Lošinj (1962. – 2020.)



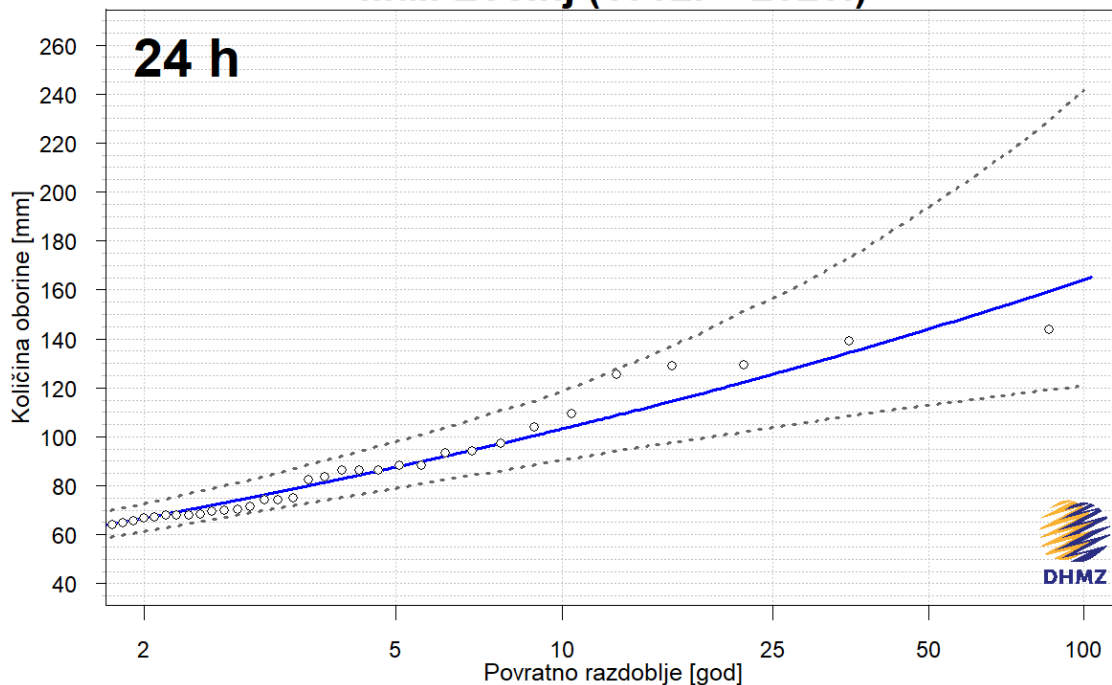
Slika 12. Procjene maksimalnih godišnjih količina oborine za različita povratna razdoblja (plava krivulja) i odgovarajući donji i gornji 95%-tni intervali pouzdanosti (crtkane krivulje) za trajanje **8 h**, izračunate pomoću razdiobe GEV

Mali Lošinj (1962. – 2020.)



Slika 13. Procjene maksimalnih godišnjih količina oborine za različita povratna razdoblja (plava krivulja) i odgovarajući donji i gornji 95%-tni intervali pouzdanosti (crtkane krivulje) za trajanje **12 h**, izračunate pomoću razdiobe GEV

Mali Lošinj (1962. – 2020.)



Slika 14. Procjene maksimalnih godišnjih količina oborine za različita povratna razdoblja (plava krivulja) i odgovarajući donji i gornji 95%-tni intervali pouzdanosti (crtkane krivulje) za trajanje **24 h**, izračunate pomoću razdiobe GEV